

С 341.2

19/15-41

К-636

СООБЩЕНИЯ  
ОБЪЕДИНЕНОГО  
ИНСТИТУТА  
ЯДЕРНЫХ  
ИССЛЕДОВАНИЙ

Дубна

Р4-5693



А.Л. Комов, Л.А. Малов, В.Г. Соловьев

ЛАБОРАТОРИЯ ТЕОРЕТИЧЕСКОЙ ФИЗИКИ

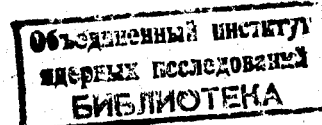
НЕРОТАЦИОННЫЕ СОСТОЯНИЯ  
НЕЧЕТНЫХ ЯДЕР В ОБЛАСТИ  
АКТИНИДОВ

1971

**P4-5693**

**А.Л. Комов, Л.А. Малов, В.Г. Соловьев**

**НЕРОТАЦИОННЫЕ СОСТОЯНИЯ  
НЕЧЕТНЫХ ЯДЕР В ОБЛАСТИ  
АКТИНИДОВ**



Комов А.Л., Малов Л.А., Соловьев В.Г.

P4-5693

Неротационные состояния нечётных ядер в области актинидов

В рамках сверхтекучей модели ядра рассчитаны энергии и волновые функции неротационных состояний нечётных ядер в области актинидов. Получено достаточно хорошее описание энергий низколежащих неротационных состояний в  $^{239}\text{U}$ ,  $^{237}\text{Pu}$ ,  $^{243}\text{Pu}$ ,  $^{243}\text{Cm}$ ,  $^{235}\text{Np}$ ,  $^{239}\text{Np}$ ,  $^{243}\text{Am}$ ,  $^{247}\text{Bk}$ .

Сообщения Объединенного института ядерных исследований

Дубна, 1971

Komov A.L., Malov L.A., Soloviev V.G.

P4-5693

Non-Rotational States of Odd-Mass Nuclei in the  
Actinide Region

The energies and wave functions for non-rotational states of odd-mass nuclei in the actinide region have been calculated within the superfluid nuclear model. A rather good agreement of the energies of the low-lying non-rotational states in  $^{239}\text{U}$ ,  $^{237}\text{Pu}$ ,  $^{243}\text{Pu}$ ,  $^{243}\text{Cm}$ ,  $^{235}\text{Np}$ ,  $^{239}\text{Np}$ ,  $^{243}\text{Am}$ ,  $^{247}\text{Bk}$  was obtained.

Communications of the Joint Institute for Nuclear Research.

Dubna, 1971

В работах /1-2/ проведено исследование неротационных состояний деформированных нечетных ядер в областях  $150 < A < 190$  и  $234 < A < 250$  с использованием потенциала Саксона-Вудса для описания среднего поля. Основные и возбужденные неротационные состояния описываются в указанных работах в рамках метода, учитывающего взаимодействие квазичастиц с фононами /3/. Получено хорошее описание низколежащих состояний в обеих областях деформированных ядер.

В данной работе вычислены энергии и волновые функции неротационных состояний ряда нечетных ядер, которые не были исследованы в /2/.

При вычислении неротационных состояний использовались одночастичные энергии и волновые функции потенциала Саксона-Вудса. Изучаемая область ядер разбита на две зоны  $A=239$  и  $A=247$ . В первую зону входят ядра с массовыми числами  $234 < A \leq 243$ , во вторую – ядра с  $244 < A < 250$ . Расчеты проведены при следующих равновесных деформациях: в первой зоне –  $\beta_{20}=0,20$ ,  $\beta_{40}=0,08$ ; во второй –  $\beta_{20}=0,23$ ,  $\beta_{40}=0,06$ . Эти величины ( $\beta_{20}$  и  $\beta_{40}$ ) являются средними равновесными деформациями для ядер первой и второй зон. Одночастичные энергии и волновые функции потенциала Саксона-Вудса для этих зон даны в /2,4/.

Основные формулы теории, учитывающей взаимодействие квазичастиц с фононами, описывающими вибрационные состояния соответствующих четно-четных ядер, приведены в /3/.

Волновую функцию нечетного ядра, описывающую состояния с данными значениями  $K^{\pi}$ , где  $K$  – проекция спина на его ось симметрии и  $\pi$  – четность, запишем в виде:

$$\Psi_j(K^x) = \frac{1}{\sqrt{2}} \left\{ \sum_{\sigma} \sum_n C_{p_n}^j \alpha_{p_n \sigma}^+ + \sum_{\lambda \mu i} \sum_{s \sigma} D_{p_i p_n s \sigma}^{\lambda \mu i j} \alpha_{s \sigma}^+ Q_i(\lambda \mu) \right\} \Psi^{(I)}$$

Здесь  $\alpha_{s \sigma}^+$  - оператор рождения квазичастицы,  $\sigma = \pm 1$ ,  $Q_i(\lambda \mu)$  - оператор фонона мультипольности ( $\lambda \mu$ ),  $\Psi$  является волновой функцией основного состояния четно-четного ядра. Через  $p_n \sigma$  обозначена совокупность квантовых чисел, характеризующих  $n$  одночастичных уровней среднего поля с данным  $K^x$ , а через  $s \sigma$  - остальные уровни среднего поля.

Условие нормировки волновой функции (I) имеет вид:

$$\sum_n (C_{p_n}^j)^2 + \frac{1}{2} \sum_{\lambda \mu i} \sum_{s \sigma} (D_{p_i p_n s \sigma}^{\lambda \mu i j})^2 = 1. \quad (2)$$

Величина  $(C_{p_n}^j)^2$  определяет вклад одноквазичастицной компоненты с данным  $p_n$  в волновую функцию рассматриваемого состояния. Величина  $\frac{1}{2} \sum_{\sigma} (D_{p_i p_n s \sigma}^{\lambda \mu i j})^2$  определяет вклад компоненты с квазичастицей в состоянии  $s$  плюс фонон  $\lambda \mu i$  в волновую функцию  $\Psi_j(K^x)$ .

При вычислении энергий и волновых функций неротационных состояний в нечетных ядрах находят среднее значение гамильтонiana, описывающего спаривающее и мультиполь-мультипольное взаимодействия по состоянию (I). Из условия минимума энергии получают секулярное уравнение, определяющее энергии неротационных состояний /5/.

При исследовании низколежащих состояний можно ограничиться значением  $n=1$  или 2, поскольку, как правило, в одночастичной схеме не встречается больше двух близких по энергии состояний с одинаковыми . Однако высоковозбужденные состояния имеют более сложную структуру с заметной примесью нескольких состояний  $p_n$  с одинаковыми  $K^x$ .

в 1/2 приведены энергии и структура неротационных состояний следующих ядер:  $^{235}U$ ,  $^{233}U$ ,  $^{241}Pu$ ,  $^{243}Cm$ ,  $^{242}Cm$ ,  $^{249}Cm$ ,  $^{237}Np$ ,  $^{243}Am$  и  $^{249}Bk$ .

Результаты расчетов следующих ядер:  $^{239}U$ ,  $^{237}Pu$ ,  $^{243}Pu$ ,  $^{243}Cm$ ,  $^{235}Np$ ,  $^{239}Np$ ,  $^{243}Am$ ,  $^{245}Am$  и  $^{249}Bk$  представлены в виде таблиц I-9.

В этих таблицах даны значения  $K^{\pi}$ , экспериментальные значения энергий, взятые из 1/6-8/, вычисленные энергии всех неротационных состояний до 1 Мэв и ряд состояний выше 1 Мэв. В таблицах I-9 приведена структура состояний, т.е. даны (в процентах) величины  $(C_{\rho_1}^j)^2$ ,  $(C_{\rho_2}^j)^2$  (если  $(C_{\rho_2}^j)^2 \geq 0,01$ ) и значения  $(D_{\rho_1, \rho_2}^{max})^2$  для двух наибольших компонент квазичастица плюс фонон.

При вычислении энергий и структуры неротационных состояний в нечетных деформированных ядрах в большинстве состояний проводился учет смешивания двух одночастичных уровней  $\rho_1$  и  $\rho_2$  через взаимодействия квазичастиц с фононами. Из таблиц I-9 видно, что смешивание уровней  $\rho_1$  и  $\rho_2$  имеет место во многих состояниях, хотя, как правило, одна компонента много больше другой. Однако имеются состояния, в которых обе компоненты  $\rho_1$  и  $\rho_2$  дают примерно одинаковый вклад в волновую функцию (I).

Из сравнения результатов расчетов неротационных состояний нечетных ядер для области актинидов и редких земель 1/ следует, что в рассматриваемой здесь области смешивание уровней  $\rho_1$  и  $\rho_2$  является более сильным и примеси к одноквазичастичным компонентам существенно большими.

Обсудим поведение уровней в нечетных  $N$  ядрах. Ядра  $^{239}U$ ,  $^{232}Pu$ ,  $^{243}Pu$  и  $^{243}Cm$  рассчитаны со схемой уровней  $A = 239$ . Результаты расчетов удовлетворительно согласуются с экспериментальными данными. Однако энергии ряда состояний получаются слишком низкими. Состояния, близкие к одночастичным  $752^\dagger$ ,  $743^\dagger$ ,  $734^\dagger$ ,  $761^\dagger$ , слишком сильно опускаются из-за больших матричных элементов от мультипольных операторов. Отметим, что положение уровней с  $K^{\pi} = \frac{1}{2}^-$  может измениться, если учесть отклонение равновесной деформации  $\beta_{xc}$  возбужденных состояний от  $\beta_{xc}^*$  (равновесная деформация ядра в основном состоянии).

Среди нечетных  $Z$  ядер  $^{235}Np$ ,  $^{239}Np$  и  $^{243}Am$  рассчитаны со схемой  $A = 239$ ,  $^{245}Am$  и  $^{247}Bk$  – со схемой  $A = 247$ .

Результаты представлены в таблицах 5–9, они согласуются с экспериментальными данными.

Согласно приведенным расчетам, в этих ядрах сильно смешаны состояния  $400^\dagger$  и  $660^\dagger$ , при этом наибольшей компонентой нижайшего состояния с  $K^{\pi} = \frac{1}{2}^\dagger$ , как правило, оказывается  $660^\dagger$ . Однако структура состояний с  $K^{\pi} = \frac{1}{2}^\dagger$  может несколько измениться, если учесть различие равновесных деформаций основного и возбужденных состояний.

Для описания неротационных состояний изотопов  $Ra$ ,  $Ac$ ,  $Th$ ,  $Pa$  и легких изотопов  $U$  и  $Np$  необходимо рассчитать одночастичные энергии и волновые функции потенциала Саксона–Вудса для зоны  $A = 229$ . Задача создания схемы  $A = 229$  находится в стадии завершения.

Расчет энергий и волновых функций неротационных состояний нечетных ядер в области  $235 \leq A \leq 249$  показали, что взаимодействия квазичастиц с фононами играют важную роль, которая возрастает с увеличением энергии возбуждения. Для лучшего описания неротационных состояний в нечетных ядрах нужно более точно рассчитать однофононные состояния в соответствующих четно-четных ядрах.

В заключение выражаем благодарность А.А.Корнейчуку и К.М.Железновой за помощь в создании программ для расчетов, С.П.Ивановой и Н.Ю.Шириковской - за предоставление результатов расчетов энергий и волновых функций потенциала Саксона-Вудса, которые были использованы в настоящей работе.

## Л И Т Е Р А Т У Р А

1. Л.А.Малов, В.Г.Соловьев, Ю.И.Файнер. Известия АН СССР, сер. физ. 33, 1244 (1969);  
Л.А.Малов, В.Г.Соловьев, С.И.Федотов. Сообщение ОИИИ Р4-5228 (1970); Сообщение ОИИИ Е4-5567 (1971).
2. Ф.А.Гареев, С.Н.Иванова, Л.А.Малов, В.Г.Соловьев. Сообщение ОИИИ Р4-5470 (1970).
3. V.G.Soloviev. Phys. Lett., 16, 308 (1965);  
V.G.Soloviev. Prog. Nucl. Phys., 10, 239 (1965).
4. Ф.А.Гареев, С.Н.Иванова, Н.Ю.Широкова. Сообщение ОИИИ, Р4-5457 (1970).
5. V.G.Soloviev, Vogel P., Nucl. Phys. A92, 449 (1967).
6. C.M.Lederer, I.M.Hollander and I.Perlmutter, in Table of Isotopes (John Wiley and Sons, INC., New York, 1967) 6th ed.
7. R.K.Sheline et al. Phys.Rev., 151, 1011 (1966);  
T.H.Braid, et al. Phys. Lett., 18, 149 (1965);  
S.A.Baranov et al. Nucl. Phys., 56, 252 (1964);  
D.R.Mackenzie and R.D.Connor. Nucl. Phys., A108, 81 (1968);  
A.M.Friedman et al. Nucl. Phys., A127, 33 (1969);  
D.C.Hoffman et al. Nucl.Phys. A131, 551 (1969);  
Th.W.Elze and I.R.Huizenga. Nucl.Phys., A149, 585 (1970);  
W.R.Daniels et al., Nucl. Phys., A107, 659 (1968);  
I.Milsted et al., Nucl.Phys., 71, 299 (1965).
8. I.R.Erskine (частное сообщение).

Рукопись поступила в издательский отдел  
16 марта 1971 года.

Таблица I

Энергия и структура основного и возбужденных состояний

<sup>239</sup>

ll

$K^{\pi}$	Энергия ( $KeV$ )		Структура	
	эксп.	теор.		
5/2 <sup>+</sup>	(0)	0	622↑ 92%; 633↓ 1%	752↑+Q(30) 2%; 620↑+Q(22) 1%
1/2 <sup>+</sup>	133	30	631↓ 92%	631↓+Q(20) 2%; 633↓+Q(22) 1%
7/2 <sup>+</sup>	173	100	624↓ 87%; 613↑ 3%	622↑+Q(22) 2%; 725↑+Q(32) 2%
7/2 <sup>-</sup>	120	743↑ 92%		743↑+Q(20) 3%; 631↑+Q(32) 1%
9/2 <sup>-</sup>	330	734↑ 91%		734↑+Q(20) 2%; 622↑+Q(32) 2%
5/2 <sup>-</sup>	430	752↑ 61%		622↑+Q(30) 16%; 752↑+Q(20) 10%
5/2 <sup>+</sup>	600	633↓ 72%	622↑ 2%	752↑+Q(30) 8%; 631↓+Q(22) 7%
9/2 <sup>+</sup>	630	615↓ 75%		615↓+Q(20) 10%; 734↑+Q(30) 7%
1/2 <sup>-</sup>	659	700	770↑ 13%; 501↓ 9%	631↓+Q(30) 71%; 770↑+Q(20) 2%
3/2 <sup>+</sup>	810	631↑ 53%		743↑+Q(32) 17%; 631↓+Q(22) 17%
7/2 <sup>+</sup>	840	613↑ 72%	624↓ 6%	743↑+Q(30) 12%; 624↓+Q(20) 5%
3/2 <sup>-</sup>	890	761↑ 58%		761↑+Q(20) II%; 743↑+Q(22) III%
1/2 <sup>+</sup>	(692)	920	620↑ 47%	622↑+Q(22) 39%; 631↓+Q(20) 7%
5/2 <sup>-</sup>	930	752↑ 8%		622↑+Q(30) 83%; 633↓+Q(30) 5%
7/2 <sup>+</sup>	940	613↑ II%		743↑+Q(30) 87%; 624↓+Q(20) 1%
3/2 <sup>+</sup>	980	622↓ 52%		624↓+Q(22) 38%; 620↑+Q(22) 5%
5/2 <sup>+</sup>	I090			622↑+Q(20) 99%; 631↓+Q(22) 1%
7/2 <sup>-</sup>	II100			624↓+Q(30) 97%; 743↑+Q(20) 3%
1/2 <sup>-</sup>	742	II20	501↓ 57%; 770↑ 8%	501↓+Q(20) 8%; 503↓+Q(22) 8%
1/2 <sup>+</sup>	II40	631↓ 1%	620↑ 1%	631↓+Q(20) 90%; 622↑+Q(22) 7%
I/2 <sup>-</sup>	8II	II90	770↑ 1% 501↓ 1%	622↑+Q(32) 96%; 631↓+Q(30) 1%
5/2 <sup>-</sup>	I230			631↓+Q(32) 99%
I/2 <sup>-</sup>	I250	770↑ 12%	501↓ 5%	631↓+Q(31) 57%; 631↓+Q(30) I3%
3/2 <sup>+</sup>	I270			743↑+Q(32) 53%; 631↓+Q(22) 45%
5/2 <sup>+</sup>	I300	633↓ 1%		631↓+Q(22) 56%; 743↑+Q(31) 41%
I/2 <sup>-</sup>	I350	770↑ 28%		631↓+Q(31) 37%; 631↓+Q(30) II%

Таблица 2

237<sup>Pa</sup>

Энергия и структура основного и возбужденных состояний

K <sup>z</sup>	Энергия ( $\mu\text{eV}$ )		Структура			
	эксп.	теор.				
7/2-	0	0	743 $\downarrow$ 91%;	624 $\downarrow + Q_I(30)$ 3%;	743 $\uparrow + Q_I(20)$ 2%;	
I/2+	I45	I30	631 $\downarrow$ 93%;	631 $\downarrow + Q_I(20)$ 4%;		
5/2+	(202)	I70	622 $\downarrow$ 78%;	620 $\uparrow + Q_I(22)$ 3%;	734 $\downarrow + Q_I(32)$ 2%;	
5/2-		I80	752 $\downarrow$ 78%;	633 $\downarrow + Q_I(30)$ 8%;	752 $\uparrow + Q_I(20)$ 6%;	
5/2+	(202)	300	633 $\downarrow$ 76%;	622 $\uparrow + Q_I(32)$ 7%;	633 $\downarrow + Q_I(20)$ 1%;	
I/2-		360	501 $\downarrow$ 67%;	770 $\uparrow$ 1%;	501 $\downarrow + Q_I(22)$ 14%;	501 $\uparrow + Q_I(22)$ 10%;
7/2+		430	624 $\downarrow$ 64%;	631 $\downarrow$ 3%;	743 $\downarrow + Q_I(30)$ 24%;	622 $\downarrow + Q_I(22)$ 3%;
3/2-		440	761 $\uparrow$ 67%;		631 $\uparrow + Q_I(30)$ 10%;	761 $\uparrow + Q_I(20)$ 9%;
3/2+		530	631 $\downarrow$ 77%;		761 $\uparrow + Q_I(30)$ 8%;	631 $\uparrow + Q_I(20)$ 7%;
I/2-		580	770 $\downarrow$ 54%;	501 $\downarrow$ 2%;	752 $\downarrow + Q_I(22)$ 20%;	770 $\uparrow + Q_I(20)$ 7%;
5/2-		690	503 $\downarrow$ 51%;		501 $\downarrow + Q_I(22)$ 34%;	633 $\downarrow + Q_I(30)$ 7%;
3/2-		820	501 $\uparrow$ 44%;		501 $\downarrow + Q_I(22)$ 46%;	631 $\uparrow + Q_I(30)$ 4%;
9/2-		860	734 $\downarrow$ 79%;		622 $\downarrow + Q_I(32)$ 7%;	752 $\uparrow + Q_I(22)$ 5%;
I/2+		I000	620 $\uparrow$ 10%;		633 $\downarrow + Q_I(22)$ 52%;	622 $\uparrow + Q_I(22)$ 39%;
II/2-		I010	725 $\downarrow$ 3%;		743 $\downarrow + Q_I(22)$ 97%;	
9/2+		I030	615 $\downarrow$ 3%;		633 $\downarrow + Q_I(22)$ 96%;	
I/2-		I040			631 $\downarrow + Q_I(30)$ 95%;	752 $\uparrow + Q_I(22)$ 4%;
3/2-		I050	761 $\uparrow$ 1%;		743 $\uparrow + Q_I(22)$ 97%;	631 $\uparrow + Q_I(30)$ 1%;
3/2+		I060	622 $\downarrow$ 7%;	631 $\uparrow$ 1%;	631 $\downarrow + Q_I(22)$ 86%;	624 $\downarrow + Q_I(22)$ 5%;
I/2+		I070	620 $\uparrow$ 6%;		633 $\downarrow + Q_I(22)$ 47%;	622 $\uparrow + Q_I(22)$ 46%;
5/2-		I080	752 $\downarrow$ 4%;	503 $\downarrow$ 3%;	633 $\downarrow + Q_I(30)$ 83%;	501 $\downarrow + Q_I(22)$ 7%;
5/2+		I090			631 $\downarrow + Q_I(22)$ 99%;	
5/2-		II150			622 $\uparrow + Q_I(30)$ 100%;	
9/2-		II170	734 $\uparrow$ 4%;		752 $\downarrow + Q_I(22)$ 95%;	622 $\uparrow + Q_I(32)$ 1%;
5/2+		II180	633 $\downarrow$ 6%;		752 $\downarrow + Q_I(30)$ 91%;	633 $\downarrow + Q_I(20)$ 1%;
9/2+		II190	615 $\downarrow$ 15%;		622 $\downarrow + Q_I(22)$ 78%;	633 $\downarrow + Q_I(22)$ 2%;
I/2+		I200	640 $\uparrow$ 1%;		622 $\uparrow + Q_I(22)$ 99%;	

Таблица 3

## Энергия и структура основного и возбужденных состояний

243  
Pu

K	энергия (eV)	структура
	эксп. теор.	
7/2+	0 0	642 93%; 6131 2%; 7251+Q <sub>I</sub> (32) 7%; 6221+Q <sub>I</sub> (22) 1%;
9/2-	402 200	7341 97%; 7341+Q <sub>I</sub> (20) 1%; 6151+Q <sub>I</sub> (30) 1%;
5/2+	287 300	6221 94%; 6331 1%; 7521+Q <sub>I</sub> (30) 2%; 7431+Q <sub>I</sub> (31) 1%;
I/2+	350	6311 89%; 6311+Q <sub>I</sub> (20) 5%; 6331+Q <sub>I</sub> (22) 1%;
7/2-	460	7431 89%; 7431+Q <sub>I</sub> (20) 6%; 6511+Q <sub>I</sub> (32) 1%;
9/2+	580	6151 83%; 6151+Q <sub>I</sub> (20) 6%; 7541+Q <sub>I</sub> (30) 5%;
7/2+	(566) 600	6131 91%; 6241 3%; 7251+Q <sub>I</sub> (32) 2%; 6241+Q <sub>I</sub> (20) 2%;
5/2-	890	7521 43%; 6221+Q <sub>I</sub> (30) 45%; 7521+Q <sub>I</sub> (20) 4%;
II/2-	960	7251 71%; 6241+Q <sub>I</sub> (32) 23%; 6131+Q <sub>I</sub> (32) 3%;
I/2+	(627) 990	6201 89%; 6221+Q <sub>I</sub> (22) 4%; 6221+Q <sub>I</sub> (22) 3%;
3/2+	(790) I000	6221 76%; 6241+Q <sub>I</sub> (22) 14%; 6201+Q <sub>I</sub> (22) 4%;
5/2+	I050	6331 69%; 6221 1%; 6221+Q <sub>I</sub> (20) 10%; 6311+Q <sub>I</sub> (22) 5%;
7/2-	II00	7431 1%; 6241+Q <sub>I</sub> (30) 99%;
I/2-	II30	7701 7%; 5011 5%; 6311+Q <sub>I</sub> (30) 85%;
5/2-	II40	6221+Q <sub>I</sub> (30) 100%;
7/2+	I200	6131 2%; 6241+Q <sub>I</sub> (20) 98%;

Таблица 4.

Энергия и структура основного и возбужденных состояний

243

Cm

Кт	энергия (eV)		структура	
	эксп.	теор.		
5/2+	0	0	622↑ 95%; 633↓ I%; 752↓ + Q <sub>1</sub> (30) 2%; 734↓ + Q <sub>1</sub> (32) I%	
I/2+	87	80	631↓ 96%; 770↓ + Q <sub>1</sub> (30) I%; 501↓ + Q <sub>1</sub> (30) I%	
7/2+	(133)	I40	624↓ 92%; 613↓ 2%; 725↓ + Q <sub>1</sub> (32) 2%; 743↓ + Q <sub>1</sub> (30) I%	
7/2-	160	743↓ 96%;	631↓ + Q <sub>1</sub> (32) I%; 743↓ + Q <sub>1</sub> (20) I%	
9/2-	330	734↓ 92%;	622↓ + Q <sub>1</sub> (32) 4%; 615↓ + Q <sub>1</sub> (30) I%	
5/2-	650	752↓ 60%;	622↓ + Q <sub>1</sub> (30) 25%; 633↓ + Q <sub>1</sub> (30) 9%;	
5/2+	730	633↓ 84%;	622↑ I%; 752↓ + Q <sub>1</sub> (30) 8%; 633↓ + Q <sub>1</sub> (20) I%	
7/2+	860	613↓ 86%;	624↓ 4%; 743↓ + Q <sub>1</sub> (30) 6%; 725↓ + Q <sub>1</sub> (32) 2%	
I/2-	(729)	870	770↑ 7%; 501↓ 4%; 631↓ + Q <sub>1</sub> (30) 87%;	
9/2+	900	615↓ 80%;	734↓ + Q <sub>1</sub> (30) I2%; 615↓ + Q <sub>1</sub> (20) 2%;	
3/2+	(798)	930	631↓ 42%; 743↓ + Q <sub>1</sub> (32) 49%; 761↓ + Q <sub>1</sub> (20) 3%;	
II/2-	1010	725↓ 56%;	624↓ + Q <sub>1</sub> (32) 38%; 613↓ + Q <sub>1</sub> (32) 5%;	
7/2+	I020	613↓ 6%;	743↓ + Q <sub>1</sub> (30) 93%;	
5/2-	I030	752↓ 14%;	622↓ + Q <sub>1</sub> (30) 73%; 633↓ + Q <sub>1</sub> (30) 7%;	
3/2-	I090	761↓ 24%;	631↓ + Q <sub>1</sub> (32) 67%; 631↓ + Q <sub>1</sub> (30) 4%;	
I/2-	II40		622↓ + Q <sub>1</sub> (32) 100%;	
9/2-	II70	734↓ 4%;	622↓ + Q <sub>1</sub> (32) 96%;	
5/2-	II80	752↓ 2%;	631↓ + Q <sub>1</sub> (32) 95%; 633↓ + Q <sub>1</sub> (30) 2%;	
7/2-	I200		624↓ + Q <sub>1</sub> (30) 100%;	

т а б л и ц а 5

Энергия и структура основного и возбужденного состояний

236 №

К <sup>π</sup> энерг. (MeV)			Структура	
	эксп.	теор.		
5/2 <sup>+</sup>	0	0	642 <sup>+</sup> 91%;	642 <sup>+</sup> Q <sub>1</sub> (20) 5%; 521 <sup>+</sup> Q <sub>1</sub> (31) 1%;
3/2 <sup>+</sup>	130		651 <sup>+</sup> 69%;	651 <sup>+</sup> Q <sub>1</sub> (20) 26%; 530 <sup>+</sup> Q <sub>1</sub> (31) 1%;
1/2 <sup>-</sup>	200		530 <sup>-</sup> 80%;	530 <sup>-</sup> Q <sub>1</sub> (20) 13%; 400 <sup>-</sup> Q <sub>1</sub> (30) 2%;
1/2 <sup>+</sup>	270		660 <sup>+</sup> 50%; 400 <sup>+</sup> 11%; 660 <sup>+</sup> Q <sub>1</sub> (20) 25%; 530 <sup>+</sup> Q <sub>1</sub> (30) 5%;	
5/2 <sup>-</sup>	(48) 320		523 <sup>-</sup> 93%;	523 <sup>-</sup> Q <sub>1</sub> (20) 4%; 642 <sup>-</sup> Q <sub>1</sub> (30) 1%;
3/2 <sup>-</sup>	600		521 <sup>-</sup> 79%;	521 <sup>-</sup> Q <sub>1</sub> (20) 8%; 642 <sup>-</sup> Q <sub>1</sub> (31) 7%;
3/2 <sup>+</sup>	720		532 <sup>+</sup> 65%;	532 <sup>+</sup> Q <sub>1</sub> (20) 26%; 530 <sup>+</sup> Q <sub>1</sub> (22) 3%;
7/2 <sup>+</sup>	770		633 <sup>+</sup> 82%;	633 <sup>+</sup> Q <sub>1</sub> (20) 12%; 521 <sup>+</sup> Q <sub>1</sub> (32) 2%;
1/2 <sup>+</sup>	820		400 <sup>+</sup> 56%; 650 <sup>+</sup> 12%; 400 <sup>+</sup> Q <sub>1</sub> (20) 14%; 530 <sup>+</sup> Q <sub>1</sub> (30) 7%;	
5/2 <sup>+</sup>	1000		402 <sup>+</sup> 67%;	402 <sup>+</sup> Q <sub>1</sub> (20) 14%; 400 <sup>+</sup> Q <sub>1</sub> (22) 11%;
5/2 <sup>-</sup>	1090		512 <sup>-</sup> 4%; 523 <sup>-</sup> 1%; 642 <sup>-</sup> Q <sub>1</sub> (30) 93%; 523 <sup>-</sup> Q <sub>1</sub> (20) 1%;	
5/2 <sup>+</sup>	1240		642 <sup>+</sup> 4%;	642 <sup>+</sup> Q <sub>1</sub> (20) 89%; 523 <sup>+</sup> Q <sub>1</sub> (30) 7%;
1/2 <sup>+</sup>	1250		400 <sup>+</sup> 4%;	530 <sup>+</sup> Q <sub>1</sub> (30) 64%; 642 <sup>+</sup> Q <sub>1</sub> (22) 28%;
1/2 <sup>-</sup>	1260		521 <sup>-</sup> 3%; 530 <sup>-</sup> 1%; 642 <sup>-</sup> Q <sub>1</sub> (32) 80%; 530 <sup>-</sup> Q <sub>1</sub> (20) 10%;	
1/2 <sup>+</sup>	1280		400 <sup>+</sup> 2%;	642 <sup>+</sup> Q <sub>1</sub> (22) 71%; 530 <sup>+</sup> Q <sub>1</sub> (30) 22 22%;

т а б л и ц а 6

Энергия и структура основного и возбужденных состояний

239 *Np*

$K^J$	энерг. (MeV)		Структура
	эксп.	теор.	
$5/2^+$	0	0	$642\downarrow$ 93%;
$1/2^-$	267	230	$530\downarrow$ 85%;
$5/2^-$	75	300	$523\downarrow$ 94%;
$3/2^+$	348	330	$651\downarrow$ 79%;
$1/2^+$		460	$680\downarrow$ 38%; $400\downarrow$ 22%;
$3/2^-$	(345)	680	$521\downarrow$ 86%;
$7/2^+$		850	$633\downarrow$ 88%;
$1/2^+$		860	$400\downarrow$ 40%; $660\downarrow$ 31%;
$3/2^-$		880	$532\downarrow$ 65%;
$5/2^-$	666	920	$512\downarrow$ 5%; $523\downarrow$ 3%;
$3/2^+$		1100	$402\downarrow$ 71%;
$5/2^+$		1150	
$5/2^+$		1200	$642\downarrow$ 100%;
$1/2^+$		1220	$400\downarrow$ 17%; $660\downarrow$ 1%;
$3/2^-$		1270	$532\downarrow$ 4%; $521\downarrow$ 1%;
$1/2^-$		1270	$530\downarrow$ 1%;
$1/2^+$		1370	$400\downarrow$ 1%;
			$642\downarrow + Q_1(20)$ 2%; $512\downarrow + Q_1(30)$ 1%;
			$530\downarrow + Q_1(20)$ 5%; $400\downarrow + Q_1(30)$ 4%;
			$642\downarrow + Q_1(30)$ 3%; $523\downarrow + Q_1(20)$ 1%;
			$651\downarrow + Q_1(20)$ 15%; $541\downarrow + Q_1(30)$ 1%;
			$530\downarrow + Q_1(30)$ 22%; $660\downarrow + Q_1(20)$ 11%;
			$521\downarrow + Q_1(20)$ 4%; $642\downarrow + Q_1(31)$ 3%;
			$633\downarrow + Q_1(20)$ 5%; $521\downarrow + Q_1(32)$ 3%;
			$400\downarrow + Q_1(20)$ 8%; $530\downarrow + Q_1(30)$ 8%;
			$532\downarrow + Q_1(20)$ 13%; $651\downarrow + Q_1(30)$ 9%;
			$642\downarrow + Q_1(30)$ 91%;
			$532\downarrow + Q_1(30)$ 10%; $400\downarrow + Q_1(22)$ 8%;
			$523\downarrow + Q_1(30)$ 96%; $642\downarrow + Q_1(20)$ 4%;
			$642\downarrow + Q_1(20)$ 100%;
			$530\downarrow + Q_1(30)$ 66%; $660\downarrow + Q_1(20)$ 6%;
			$530\downarrow + Q_1(30)$ 88%; $530\downarrow + Q_1(22)$ 3%;
			$530\downarrow + Q_1(20)$ 99%;
			$642\downarrow + Q_1(22)$ 95%; $530\downarrow + Q_1(30)$ 1%;

т а б л и ц а 7

Энергия и структура основного и возбужденных состояний

243 Am.

$K_J^P$	энерг. (кэВ)			Структура
	эксп.	теор.		
5/2 <sup>-</sup>	0	0	523↓ 99%;	
5/2 <sup>+</sup>	80	86	642↑ 96%;	642↑ + $\theta_1(20)$ 1%; 530↑ + $\theta_1(32)$ 1%;
3/2 <sup>-</sup>	270	230	521↑ 95%;	633↑ + $\theta_1(32)$ 2%; 521↑ + $\theta_1(20)$ 2%;
7/2 <sup>+</sup>	470	400	633↑ 93%;	633↑ + $\theta_1(20)$ 2%; 521↑ + $\theta_1(32)$ 2%;
1/2 <sup>-</sup>	(260)	460	530↑ 83%;	530↑ + $\theta_1(20)$ 7%; 660↑ + $\theta_1(30)$ 3%;
3/2 <sup>+</sup>		680	651↑ 80%;	651↑ + $\theta_1(20)$ 15%; 541↑ + $\theta_1(30)$ 1%;
1/2 <sup>+</sup>		830	660↑ 28%; 400↑ 27%; 530↑ + $\theta_1(30)$ 32%;	660↑ + $\theta_1(20)$ 8%;
5/2 <sup>-</sup>		910	512↓ 6%;	642↑ + $\theta_1(30)$ 94%;
5/2 <sup>+</sup>		980		523↓ + $\theta_1(30)$ 100%;
5/2 <sup>-</sup>		1030		523↓ + $\theta_1(20)$ 100%;
5/2 <sup>+</sup>		1040	642↓ 1%;	642↓ + $\theta_1(20)$ 99%;
1/2 <sup>+</sup>		1070	400↑ 1%;	523↓ + $\theta_1(32)$ 97%; 530↑ + $\theta_1(30)$ 1%;
9/2 <sup>+</sup>		1080		523↓ + $\theta_1(32)$ 100%;
9/2 <sup>-</sup>		1080		642↓ + $\theta_1(32)$ 100%;
7/2 <sup>-</sup>		1090	514↓ 86%;	633↓ + $\theta_1(30)$ 13%;
1/2 <sup>-</sup>		1100	530↑ 1%;	642↓ + $\theta_1(32)$ 98%; 530↑ + $\theta_1(20)$ 1%;

т а б л и ц а 8

Энергия и структура основного и возбужденных состояний

<sup>245</sup>Am

$K\pi$	энерг. (кэВ)			Структура
	эксп.	теор.		
5/2 <sup>-</sup>	0	0	523↓ 99%	
5/2 <sup>+</sup>	20	40	642↑ 92%	642↑ + $Q_1(20)$ 6%; 530↑ + $Q_1(32)$ 1%
1/2 <sup>-</sup>		240	530↑ 77%	530↑ + $Q_1(20)$ 18%; 680↑ + $Q_1(30)$ 1%
3/2 <sup>-</sup>		250	521↑ 90%	521↑ + $Q_1(20)$ 6%; 633↑ + $Q_1(32)$ 2%
7/2 <sup>+</sup>	330	260	633↑ 89%	633↑ + $Q_1(20)$ 8%; 521↑ + $Q_1(32)$ 1%
3/2 <sup>+</sup>		360	402↓ 38%; 651↑ 29%	402↓ + $Q_1(20)$ 16%; 651↑ + $Q_1(20)$ 9%
1/2 <sup>+</sup>		580	400↑ 72%; 680↑ 7%	400↑ + $Q_1(20)$ 7%; 651↑ + $Q_1(22)$ 5%
3/2 <sup>+</sup>		810	402↓ 31%; 651↑ 45%	651↑ + $Q_1(20)$ 9%; 523↓ + $Q_1(31)$ 8%
1/2 <sup>+</sup>		880	660↑ 53%; 400↑ 9%	660↑ + $Q_1(20)$ 21%; 642↑ + $Q_1(22)$ 6%
5/2 <sup>-</sup>		890		523↓ + $Q_1(20)$ 100%
5/2 <sup>+</sup>		990	642↑ 5%	642↑ + $Q_1(20)$ 94%
7/2 <sup>+</sup>		1020		523↓ + $Q_1(31)$ 100%
3/2 <sup>+</sup>		1030	402↓ 3%; 651↑ 3%	523↓ + $Q_1(31)$ 91%; 651↑ + $Q_1(20)$ 2%
7/2 <sup>-</sup>		1050	514↓ 2%	642↑ + $Q_1(31)$ 98%
3/2 <sup>-</sup>		1080		642↑ + $Q_1(31)$ 100%
1/2 <sup>-</sup>		1120	521↓ 2%	523↓ + $Q_1(22)$ 98%
9/2 <sup>-</sup>		1130		523↓ + $Q_1(22)$ 100%
9/2 <sup>+</sup>		1150	624↑ 6%	642↑ + $Q_1(22)$ 91%; 523↓ + $Q_1(32)$ 2%
1/2 <sup>+</sup>		1170		523↓ + $Q_1(32)$ 94%; 642↑ + $Q_1(22)$ 6%
9/2 <sup>+</sup>		1180		523↓ + $Q_1(32)$ 98%; 642↑ + $Q_1(22)$ 2%
1/2 <sup>+</sup>		1210	660↑ 3%	642↑ + $Q_1(22)$ 86%; 523↓ + $Q_1(32)$ 5%

т а б л и ц а 9

Энергии и структура основного и возбужденных состояний

247<sup>BK</sup>

$K\pi$	энерг. (MeV)			Структура
	эксп.	теор.		
$3/2^-$	(0)	0	521↑ 95%;	$633\downarrow + Q(32)$ 3%; $521\downarrow + Q(20)$ 1%;
$7/2^+$	(0)	20	633↑ 96%;	$521\downarrow + Q(32)$ 2%; $633\downarrow + Q(20)$ 1%;
$5/2^-$	300	400	523↓ 97%;	$523\downarrow + Q(20)$ 1%; $642\downarrow + Q(30)$ 1%;
$5/2^+$		480	642↑ 87%;	$642\downarrow + Q(20)$ 7%; $530\downarrow + Q(32)$ 3%;
$1/2^-$		820	530↑ 74%;	$642\downarrow + Q(32)$ 12%; $530\downarrow + Q(20)$ 8%;
$7/2^-$		830	514↓ 97%;	$633\downarrow + Q(30)$ 2%;
$1/2^+$		1000	660↑ 3%; $400\downarrow 1%$ ; $521\downarrow + Q(32)$ 60%; $523\downarrow + Q(32)$ 35%;	
$9/2^+$		1050	624↑ 16%;	$523\downarrow + Q(32)$ 83%; $512\downarrow + Q(32)$ 1%;
$7/2^+$		1050	633↑ 1%;	$521\downarrow + Q(32)$ 98%;
$11/2^-$		1060		$633\downarrow + Q(32)$ 100%;
$3/2^-$		1070	521↑ 3%;	$633\downarrow + Q(32)$ 96%;
$9/2^+$		1080	624↑ 78%;	$523\downarrow + Q(32)$ 17%; $512\downarrow + Q(32)$ 4%;